

**ОБЪЕДИНЕННЫЙ ИНСТИТУТ ЯДЕРНЫХ ИССЛЕДОВАНИЙ**

1-2001-110

На правах рукописи

УДК 539.172.13, 539.171.017, 539.1.08

М-19

**МАЛИНИНА**

Людмила Владимировна

**ИЗМЕРЕНИЕ ТЕНЗОРНОЙ  
И ВЕКТОРНОЙ АНАЛИЗИРУЮЩИХ СПОСОБНОСТЕЙ  
НЕУПРУГОГО РАССЕЯНИЯ  
ПОЛЯРИЗОВАННЫХ ДЕЙТРОНОВ НА ПРОТОНАХ  
В ОБЛАСТИ ЭНЕРГИЙ ВОЗБУЖДЕНИЯ  
РОПЕРОВСКОГО РЕЗОНАНСА И ДЕЛЬТА-ИЗОБАРЫ**

Специальность: 01.04.16 — физика ядра и элементарных частиц

Автореферат диссертации на соискание ученой степени  
кандидата физико-математических наук

Дубна 2001

Работа выполнена в Лаборатории высоких энергий Объединенного института ядерных исследований

Научный руководитель:  
доктор физико-математических наук,  
старший научный сотрудник

СТРОКОВСКИЙ  
Евгений Афанасьевич

Официальные оппоненты:

доктор физико-математических наук,  
старший научный сотрудник

ТОКАРЕВ  
Михаил Владимирович

кандидат физико-математических наук,  
старший научный сотрудник

ЕРШОВ  
Александр Альбертович

Ведущее научно-исследовательское учреждение:  
Петербургский институт ядерной физики  
им. Б.П. Константинова РАН

Защита состоится "....." .....2001 года в "....." часов на заседании диссертационного совета при Лаборатории высоких энергий Объединенного института ядерных исследований, по адресу:  
141980, г.Дубна Московской области, ЛВЭ ОИЯИ.

С диссертацией можно ознакомиться в библиотеке ЛВЭ ОИЯИ.

Автореферат разослан "....." .....2001 г.

Ученый секретарь  
диссертационного совета,  
доктор физ.-мат. наук, профессор

М.Ф.Лихачев

## Общая характеристика работы

В диссертации представлены результаты экспериментального исследования спин-зависимых наблюдаемых, измеренных во взаимодействии поляризованных дейтронов с протонами при импульсе 3.73 ГэВ/с. В эксперименте эксклюзивного типа на ускорителе SATURNE-II (Сакле, Франция) с использованием спектрометра SPES4- $\pi$  исследовалось поведение тензорной и векторной анализирующих способностей в области возбуждения Роперовского резонанса  $N^*(1/2, 1/2^+)(1440)$  и  $\Delta(1232)$  изобары.

### Актуальность темы диссертации

Одной из наиболее актуальных проблем современной релятивистской ядерной физики является изучение спиновых характеристик ядерных реакций в области, где возможен переход от нуклонных к кварковым степеням свободы в ядрах. Особый интерес представляет область возбуждения первых нуклонных резонансов, где описание спектра возбужденных состояний нуклона с помощью кварковых представлений сталкивается со значительными трудностями [1].

С появлением в последние годы хорошо развитой техники создания поляризованных пучков большой интенсивности и поляризованных мишеней стало возможно вернуться к проблемам изучения возбуждения барионных резонансов на новом уровне: спин-зависимые наблюдаемые позволяют лучше понять механизм реакций, приводящих к возбуждению барионных резонансов, и приносят новую информацию о характере взаимодействий на "микроскопическом" уровне.

Замечательной особенностью изоскалярных снарядов является отбор по изоспину конечных состояний, поэтому для изучения возбуждения барионных  $N^*$  резонансов с изоспином  $1/2$  особенно привлекательно неупругое  $dp$  рассеяние.

Пока существует крайне мало экспериментальных данных и теоретических работ посвященных этой проблематике. Данных по исследованию поляризационных наблюдаемых в реакциях с изоскалярными снарядами в экспериментах эксклюзивного типа просто нет.

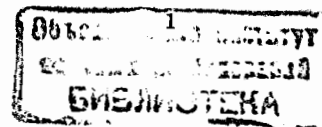
Отсюда следует актуальность исследования тензорной и векторной анализирующих способностей в неупругом  $dp$  рассеянии в эксперименте эксклюзивного типа для  $dp \rightarrow dN\pi(\pi)$  каналов реакции.

### Цель диссертационной работы

- Экспериментальное исследование тензорной и векторной анализирующих способностей неупругого рассеяния дейтронов на протонах в области возбуждения Роперовского резонанса и Дельта изобары в эксперименте эксклюзивного типа для  $dp \rightarrow dN\pi(\pi)$  каналов реакции.
- Изучение зависимостей этих поляризационных наблюдаемых от квадрата переданного четырех-импульса, эффективной массы системы  $N\pi(\pi)$  и угла вылета пиона относительно направления импульса снаряда.
- Сравнение полученных анализирующих способностей для реакций с одним и двумя пионами в конечном состоянии.

### Научная новизна работы

- впервые в эксперименте эксклюзивного типа измерены тензорная и векторная анализирующие способности неупругого  $dp$  рассеяния для каналов реакции с одним и двумя пионами в конечном состоянии.
- впервые в кинематически переопределенном эксперименте с регистрацией обеих



рассеянных частиц измерена тензорная анализирующая способность  $A_{yy}$  реакции  $dp \rightarrow pd$  упругого рассеяния назад в с.ц.м. при кинетической энергии снаряда выше 1 ГэВ/нуклон.

#### Научно-практическая ценность работы :

- создано математическое обеспечение для обработки данных эксперимента E-278C проведенного на ускорителе SATURNE-II:
  - усовершенствована программа чтения и декодирования первичной информации, записанной в процессе набора данных эксперимента E-278C. Эта программа уже используется для обработки данных других экспериментов выполненных на установке SPES4-п;
  - разработана процедура обработки информации от дрейфовых камер Переднего спектрометра и определения с необходимой точностью геометрического положения различных частей установки в единой системе координат;
  - разработана процедура восстановления импульса и определения типа частицы в спектрометре SPES4, работавшего в нашем эксперименте в счетчиковой моде. Процедура используется для обработки данных других экспериментов, полученных на этой установке;
  - разработана процедура проведения треков в Переднем спектрометре в такой схеме измерений, когда траектории частиц до входа в область магнитного поля не измеряются, количество камер минимально, а положение спектрометра вблизи нерассеянного пучка создает большие фоновые загрузки. Эта процедура может быть использована в других экспериментах;
- созданы программы для моделирования эксперимента и сравнения с существующими теоретическими моделями.

Программы написаны в едином стандарте, позволяющем легкое перестраивание их для использования в других экспериментах. Часть программ уже используется для планирования экспериментов на спектрометре MARUSYA ЛВЭ ОИЯИ [2].

#### Автор защищает:

- новые экспериментальные данные о тензорной  $A_{yy}$  и векторной  $A_y$  анализирующих способностей неупругого  $dp$  рассеяния для каналов реакции  $dp \rightarrow dN\pi(\pi)$  с одним и двумя пионами в конечном состоянии в области  $t \sim (-0.22 ; -0.08)$  (ГэВ/с)<sup>2</sup>, соответствующей области эффективных масс  $\sim (1.33 ; 1.48)$  ГэВ при импульсе пучка дейтронов 3.73 ГэВ/с;
- изучение зависимостей анализирующих способностей  $A_{yy}$  и  $A_y$  реакций  $dp \rightarrow dN\pi$  от угла вылета пиона относительно направления импульса снаряда;
- новые экспериментальных данных о тензорной анализирующей способности  $A_{yy}$  реакции упругого  $dp \rightarrow pd$  рассеяния назад в с.ц.м. при импульсе пучка дейтронов 3.73 ГэВ/с с регистрацией обеих частиц в конечном состоянии;

- программное обеспечение для обработки данных эксперимента E-278C, в котором автор приняла непосредственное участие на всех стадиях работы от планирования измерений до получения результатов.

#### Апробация работы:

Результаты исследований, на основе которых написана диссертация, докладывались на научных семинарах ЛВЭ ОИЯИ, рабочих совещаниях коллаборации SPES4-п, международных конференциях ISHEPP-XIV (1998 г.) (Дубна), ISHEPP-XV (2000 г.) (Дубна), 16-th European Conference on Few Body Problems in Physic (Autrans, France) (1998). Результаты работы опубликованы в соответствующих материалах конференций, журналах "Краткие сообщения ОИЯИ", "Письма в ЭЧАЯ", в виде препринтов. Основные результаты и выводы диссертации изложены в 6 публикациях, список которых приведен в конце автореферата.

#### Содержание работы

Диссертация состоит из введения, шести глав, заключения и списка цитируемой литературы.

**Во Введении** рассматривается история изучения Роперовского резонанса, перечисляются различные теоретические модели, в которых предпринимаются попытки объяснить его необычные свойства. Сделан краткий обзор экспериментов по изучению сечений возбуждения Роперовского резонанса во взаимодействиях изоскалярных снарядов  $d, \alpha$ . Рассмотрены различные теоретические подходы к их описанию. Обсуждаются также данные инклюзивных экспериментов по изучению зависящих от спина наблюдаемых в неупругом  $dA$  рассеянии и попытки их теоретической интерпретации.

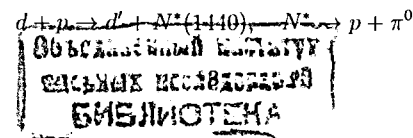
В нашем эксперименте E-278C тензорная и векторная анализирующие способности измерялись в зависимости от квадрата переданного четырехимпульса  $t = (P_d - P_d')^2$ , эффективной массы  $N\pi(\pi)$  системы и угла вылета пиона **вблизи порога возбуждения Роперовского резонанса**. Кинематическая область в  $(t, M_\pi)$  плоскости, захватываемая в этом эксперименте, показана на рис. 1. Эксперимент был проведен на выведенном пучке ускорителя SATURNE-II с помощью установки SPES4-п. Были измерены анализирующие способности для следующих каналов неупругого  $dp$  рассеяния:

$$dp \rightarrow d'\pi^0 \quad (1)$$

$$dp \rightarrow d'\pi^+ \quad (2)$$

$$dp \rightarrow d'N\pi\pi \quad (3)$$

Согласно теоретической модели группы Е.Осера [3], в исследуемой кинематической области рождение одного пиона может происходить в основном через возбуждение  $\Delta(1232)$  в одном из нуклонов снаряда или через возбуждение  $N^*$  в мишени. Другие возможные процессы, показанные на рис.2, а также возбуждение  $\Delta$  и в снаряде, и в мишени, должны (в рамках этой модели) давать вклад на два порядка меньше, чем вклад основных процессов:



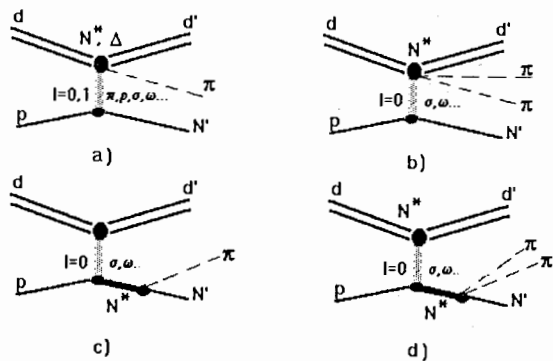
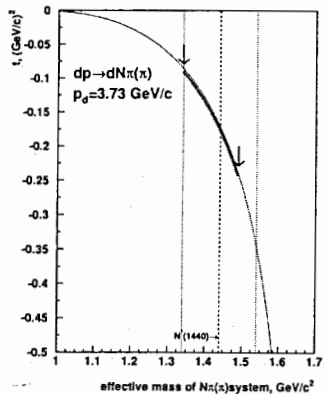
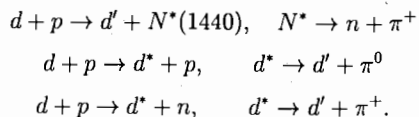


Рис. 1: Зависимость недостающей массы  $M_x$  (эффективная масса  $N \pi(\pi)$ ) от квадрата переданного 4-импульса  $|t|$  при импульсе начального пучка дейтронов 3.73 ГэВ/с; резонанса в нашем эксперименте. Рис. 2: Основные диаграммы процесса  $p(d, d')N\pi(\pi)$ : а) возбуждение  $\Delta$  или  $N^*$  переданного 4-импульса  $|t|$  при импульсе начального пучка дейтронов 3.73 ГэВ/с; резонанса в мишени. б) возбуждение Роперовского резонанса в дейтроне; с) и д) возбуждение Роперовского резонанса в мишени.



Здесь  $d^*$  – состояние двух нуклонов после рассеяния с одним из нуклонов возбужденным в  $\Delta$  изобару, которое после испускания пиона снова "собирается" в дейтрон. В области перекрытия резонансов возможны интерференционные эффекты, которые могут проявляться в поведении поляризационных наблюдаемых, особенно  $A_y$ . Из-за сохранения изоспина, выделение канала реакции (3) позволяет полностью избавиться от вклада возбуждения  $\Delta$  изобары "в снаряде" и сравнить анализирующие способности каналов с присутствием  $\Delta$  изобары и без нее.

В I главе дается описание экспериментальной установки SPES4- $\pi$  и процедуры проведения эксперимента. Установка SPES4- $\pi$  состояла из:

- фокусирующего магнитного спектрометра высокого разрешения SPES4;
- детектирующей системы, работающей в совпадении с ним. Эта система включала в себя:
- дипольный магнит TETHYS
- Передний спектрометр, (FS -Forward Spectrometer)
- Боковой спектрометр (LS -Lateral Spectrometer) <sup>1</sup>
- 6-см жидководородной мишени, расположенной в медианной плоскости дипольного

<sup>1</sup>Информация с него не использовалась при обработке данных нашего эксперимента, поэтому далее речь пойдет только о Переднем спектрометре.

магнита TETHYS

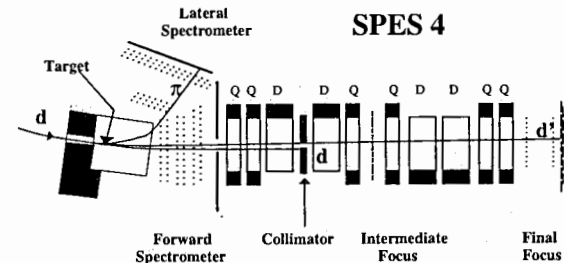


Рис. 3: Установка SPES4- $\pi$

Частицы с большим импульсом ( $d'$ ), рассеянные на малые углы, детектировались фокусирующим магнитным спектрометром SPES4. Заряженные вторичные частицы с существенно меньшими импульсами (протоны и пионы) детектировались нефокусирующей широкоапертурной системой "FS+LS". Схема установки изображена на рис. 3.

Состояние поляризации дейтронного пучка менялось каждый цикл ускорения. Использовались следующие состояния поляризации: 5, 6, 7, 8 (в обозначениях Сатурн-II, см. таблицу I).

Таблица I. Максимальные значения векторной и тензорной параметров поляризации пучка на ускорителе Сатурн-II

Номер состояния поляризации	$P_{ZZ}^{max}$	$P_Z^{max}$
5	+1	+1/3
6	+1	-1/3
7	-1	+1/3
8	-1	-1/3

Сумма состояний "5+6" ("7+8") дает положительную (отрицательную) тензорную поляризацию пучка без примеси векторной поляризации. Сумма "5+7" ("6+8") дает положительную (отрицательную) векторную поляризацию без примеси тензорной. Комбинация "5+8" ("6+7") дает неполяризованный пучок. Ось квантования спина дейтрона была перпендикулярна к плоскости, содержащей "среднюю" орбиту ускорителя. Поляризация измерялась периодически (при смене настроек спектрометра) с помощью Низкоэнергетического Поляриметра ускорителя Сатурн. Использовалась реакция:  $d(d, p)t$  при  $E_d = 400$  КэВ. Средние значения поляризации пучка были:  $P_{ZZ} = 0.902 \pm 0.015$  и  $P_Z = 0.311 \pm 0.008$ ;  $|P_Z^+| = |P_Z^-|$  ( $|P_{ZZ}^+| = |P_{ZZ}^-|$ ), где ( $P_{ZZ}^{\pm}$  и  $P_Z^{\pm}$  тензорная и векторная поляризации пучка, ось Z связана с системой координат источника поляризованных дейтронов).

В соответствии с "Мэдисоновским соглашением", в анализе данных была выбрана декартова система координат с осью z вдоль падающего пучка, осью

у, перпендикулярной к плоскости рассеяния и параллельной направлению оси квантования спина дейтрона, ось  $x$  была выбрана так, чтобы получить "правый" координатный базис. Сечение неупругого  $dp$  рассеяния может быть записано следующим образом:

$$\sigma^\pm(\theta_\pi, t) = \sigma^0(\theta_\pi, t) \left[ 1 + \frac{3}{2} P_Z^\pm A_y(\theta_\pi, t) + \frac{1}{2} P_{ZZ}^\pm A_{yy}(\theta_\pi, t) \right], \quad (4)$$

где  $\sigma^0$  и  $\sigma^\pm$  сечения поляризованного и неполяризованного пучка +, -, 0 обозначают соответствующие поляризации пучка;  $A_y(\theta_\pi, t)$  и  $A_{yy}(\theta_\pi, t)$  векторная и тензорная поляризации реакции;  $\theta_\pi$  горизонтальный угол вылета пиона

$\theta_\pi = \arcsin[p_x \cdot (p_x^2 + p_z^2)^{-1/2}]$ , где  $p_x, p_z$  компоненты импульса пиона.

Из (4), используя комбинации состояний поляризации пучка: чисто тензорную (без примеси векторной поляризации) и чисто векторную (без примеси тензорной поляризации) когда  $P_Z^+ = P_Z^-$ ; ( $P_{ZZ}^+ = P_{ZZ}^-$ ) получаем:

$$A_{yy}(\theta_\pi, t) = \frac{2}{P_{ZZ}} \cdot \frac{\sigma_{+t}^+ - \sigma_{-t}^-}{\sigma_{+t}^+ + \sigma_{-t}^-} \quad (5)$$

$$A_y(\theta_\pi, t) = \frac{2}{3P_Z} \cdot \frac{\sigma_{+v}^+ - \sigma_{-v}^-}{\sigma_{+v}^+ + \sigma_{-v}^-} \quad (6)$$

где  $\sigma_{+,-t,v}^{\pm}$  сечения для тензорной (векторной) поляризации пучка.

В нашем эксперименте тензорная  $A_{yy}$  и векторная  $A_y$  анализирующие способности вычислялись для каждой реакции согласно следующим формулам:

$$A_{yy}(\theta_\pi, t) = \frac{2}{P_{ZZ}} \cdot \frac{N_5 + N_6 - N_7 - N_8}{N_5 + N_6 + N_7 + N_8} \quad (7)$$

$$A_y(\theta_\pi, t) = \frac{2}{3P_Z} \cdot \frac{N_5 - N_6 + N_7 - N_8}{N_5 + N_6 + N_7 + N_8} \quad (8)$$

$$A_0(\theta_\pi, t) = \frac{N_5 - N_6 - N_7 + N_8}{N_5 + N_6 + N_7 + N_8} \quad (9),$$

где  $N_5, N_6, N_7$  и  $N_8$  – количество событий на каждое состояние пучка, нормированное на соответствующие интенсивности.

Последнее соотношение определяет "ложную" (аппаратную) асимметрию. Ее величина контролировалась для всех каналов реакции и была близка к нулю, доказывая тем самым корректность поляризационных измерений.

Во II главе описываются калибровочные измерения и методика обработки и анализа экспериментальных данных. Дается характеристика математического обеспечения, созданного для анализа экспериментальных данных. Описываются процедуры определения координаты по информации о времени дрейфа в камерах Переднего спектрометра. Дается краткое описание процедуры восстановления импульса в Переднем спектрометре<sup>2</sup>. Описана методика восстановления импульса и определения типа частицы в SPES4. Рассмотрена процедура идентификации частиц,

<sup>2</sup>В анализе данных, проведенном автором реферата, использовалась процедура, разработанная Л.С.Ажгиреем. Она подробно описана в ([1] см. список работ). Также использовалась экстраполированная карта магнитного поля TETHYS, полученная В.Агустийяком, М.Кагарлисом, Р.Куше и Л.Фари ([1] см. список работ)

регистрируемых в Переднем спектрометре по импульсу, информации о времени пролета и потерях энергии в годоскопе. Описывается процедура проведения треков в условии большой загруженности Переднего спектрометра фоновыми событиями. Дается характеристика критериев отбора событий. Идентификация каналов реакции проводилась по недостающей массе нейтральной системы.

В качестве калибровочного процесса использовалась реакция упругого  $dp \rightarrow pd$  рассеяния назад в с.д.м., когда в Переднем спектрометре регистрировался медленный дейтрон ( $p_d = 0.8$  ГэВ/с), а в SPES4 - быстрый протон ( $p_p = 2.92$  ГэВ/с).

Основные характеристики установки и процедуры набора данных приведены в таблице II в диссертации.

В III главе приведены результаты моделирования эксперимента по фазовому объему реакций (рис.4), а также с учетом матричного элемента реакции  $p(d, d')X$  в модели Е.Осега (рис.5). Поскольку триггер SPES4  $\cap$  FS предполагал совпадение

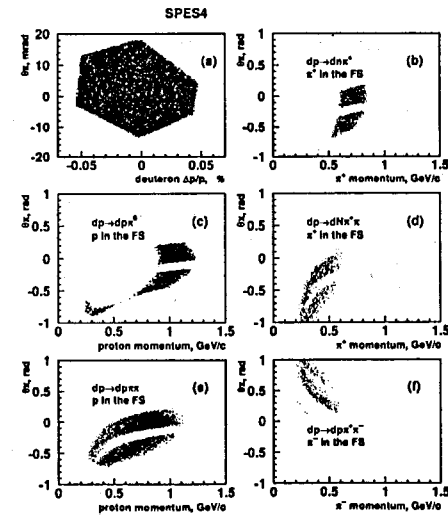


Рис. 4: Аксептансы для различных каналов реакции рассчитанные с помощью пакета GEANT.  $d'$  регистрируется в SPES4. События генерировались по фазовому объему с помощью программы GENBOD. а) Импульс-горизонтальный угол рассеянных дейтронов в SPES4. б), с), d), e), ф) Импульс-горизонтальный угол заряженных вторичных частиц в FS для реакции  $dp \rightarrow dN\pi(\pi)$ .

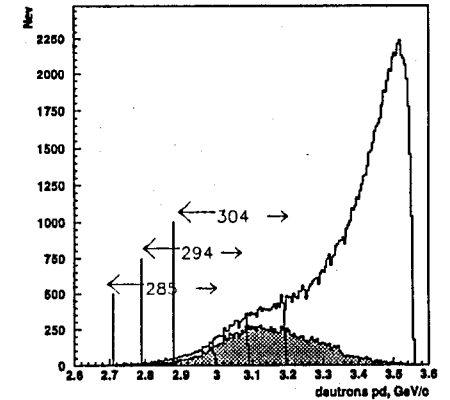


Рис. 5: Импульсный спектр рассеянных дейтронов. Распределение построено с использованием матричного элемента Е.Осега. Штриховкой отмечено возбуждение Роперовского резонанса. Указаны области, соответствующее настройкам спектрометра на центральные импульсы SPES4: 2.85 ГэВ/с, 2.94 ГэВ/с, 3.04 ГэВ/с

между сигналами от SPES4 и Переднего Спектрометра, области углов и импульсов вторичных частиц от различных каналов реакции (1-3), доступные для регистрации,

сильно различались (рис.4(b-f)). Это было использовано для улучшения выделения каналов реакций.

Расчет методом Монте-Карло с учетом матричного элемента, рассчитанного по модели Е.Осета, (рис.5) показывает расположение областей импульсов рассеянных дейтронов, захватываемых при различных настройках SPES4 относительно предполагаемого положения Роперовского резонанса и  $\Delta$  изобары.

В рамках этой модели, из-за сильной  $t$ -зависимости формфакторов дейтрона, положение максимума сечения возбуждения Роперовского резонанса в массовом спектре оказывается сдвинуто относительно номинального значения массы резонанса  $\sim 1440$  МэВ, в сторону меньших масс.

Если это так, то во всей кинематической области, исследованной в эксперименте E-278С должен доминировать Роперовский резонанс.

**В IV главе** обсуждается анализ данных и результаты измерения тензорной

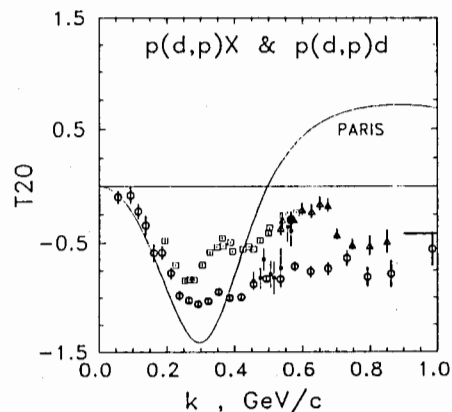


Рис. 6: Данные о  $T_{20}$  для реакции  $p(d,p)d$  упругого рассеяния назад (ц.м.с.) (светлые квадраты и пустые треугольники из [3,4]) и для  $p(d,p)X$  развала дейтрона при  $0^\circ$  при  $T_d = 7.4$  ГэВ/с (светлые кружки из [5]) Темный кружок: данные нашего эксперимента для  $p(d,p)d$  при  $\vartheta_{c.m.} = 180^\circ$  где обе частицы детектируются в совпадении. Маленькие темные квадраты: данные нашего эксперимента для  $p(d,p)X$  при  $\vartheta_{c.m.} = 180^\circ$ . Данные построены как функция переменной светового фронта  $k$  (импульс нуклона в дейтроне).

анализирующей способности упругого рассеяния назад  $p(d,p)d$  в с.ц.м.. В нашем эксперименте впервые была измерена тензорная анализирующая способность для этой реакции когда обе частицы регистрируются. Полученные данные хорошо

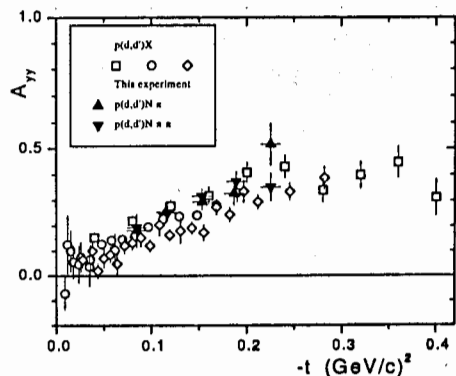


Рис. 7: Сравнение тензорной анализирующей способности  $A_{yy}$  для  $p(d,d')X$  (данные из [6]) с результатами нашего эксперимента для реакций  $dp \rightarrow dn\pi^+$  и  $dp \rightarrow dp\pi\pi$ . Данные других экспериментов: квадраты, кружки и ромбы соответствуют  $p_d = 9$  GeV/c,  $p_d = 5.5$  GeV/c,  $p_d = 4.5$  GeV/c.

совпали с известными мировыми данными, полученными в экспериментах, где регистрировалась только одна из рассеянных частиц (см. рис.6).

На рис.6 также представлены полученные в нашем эксперименте данные для  $A_{yy}$  реакции развала дейтрона  $p(d,p)pn$ , они также хорошо согласуются с опубликованными в литературе.

**В V главе** приведены результаты измерения тензорной и векторной анализирующих способностей и обсуждаются основные закономерности их поведения. Результаты измерения тензорной и векторной анализирующих способностей для реакций  $dp \rightarrow dn\pi^+$  ( $\pi^+$  в Переднем спектрометре) и  $dp \rightarrow dp\pi^0$  ( $p$  в Переднем спектрометре) в зависимости от  $t$  и горизонтального угла вылета пиона  $\theta_\pi = \arcsin[p_x \cdot (p_x^2 + p_z^2)^{-1/2}]$ , показаны на рис.8.

События от реакций  $dp \rightarrow dp\pi^0$  и  $dp \rightarrow dn\pi^+$  регистрируются в спектрометре SPES4- $\pi$  в совершенно различных областях углов вылета пионов. Ширина доступной области углов вылета пионов от реакции  $dp \rightarrow dp\pi^0$  мала (отбирался только протоны с импульсом  $< 0.5$  ГэВ/с, см. рис.4(c)), а для  $dp \rightarrow dn\pi^+$  эта область достаточно широка (рис.4(b)) и может быть разбита на 3 подобласти. Для каждой из них вычислялось среднее значение угла вылета пиона и  $A_{yy}$  вычислялась отдельно для событий из каждой подобласти.  $A_{yy}$  и  $A_y$  для  $dp \rightarrow dn\pi^+$  проявляют сильную угловую зависимость рис.8(g,h), при этом тензорная анализирующая способность оказывается четной функцией угла, а векторная анализирующая способность – нечетной функцией угла, близкой к нулю при нулевых углах вылета пиона. Большая разница между значениями  $A_{yy}$  ( $A_y$ ) измеренных при одинаковых  $|t|$  для каналов  $dp \rightarrow dp\pi^0$  и  $dp \rightarrow dn\pi^+$  объясняется тем, что эти реакции измерялись в различных областях углов вылета пионов.

На рис.9 показаны результаты измерения анализирующих способностей для реакций  $dp \rightarrow dN\pi^+\pi^-$  ( $\pi^+$  в Переднем спектрометре) и  $dp \rightarrow dp\pi^+\pi^-$  ( $p$  в Переднем спектрометре). В этом эксперименте события от каналов реакции с двумя пионами в конечном состоянии выделялись двумя способами:  $\pi^+$  или  $p$  регистрировались в Переднем спектрометре. Выделения этих каналов по регистрации  $\pi^-$  не производилось из-за малости акцептанса и, соответственно, малой статистики таких событий. Результаты измерения тензорной анализирующей способности для двухпионных каналов, выполненные двумя указанными способами, хорошо совпадают между собой.

Полученные значения анализирующих способностей приведены в таблице II.

**VI глава** посвящена сравнению полученных анализирующих способностей с известными данными других экспериментов, а также – с результатами моделирования. Отмечено, что разница между тензорной анализирующей способностью  $A_{yy}$  для реакций с одним ( $dp \rightarrow dn\pi^+$ ) и двумя ( $dp \rightarrow dN\pi\pi$ ) пионами в конечном состоянии незначительна (см. рис.7). Ожидалось, что двухпионное конечное состояние соответствует чистому сигналу от Роперовского резонанса, тогда как конечное состояние с одним пионом может появиться и за счет распада Роперовского резонанса, и за счет распада  $\Delta$ -изобары, однако, согласно моделированию с матричным элементом по модели Е.Осета (рис.5) в рассматриваемой области вклад от  $\Delta$  не превышает  $\sim 50\%$  от вклада  $N^*$ .

На рис.7 измеренные в нашем эксперименте тензорные анализирующие способности сравниваются с ближайшими по импульсу падающего пучка

известными данными для инклюзивного рассеяния  $dp \rightarrow dX$ .

Для инклюзивных данных выполняется приближенный скейлинг по  $|t|$ : чем больше импульс пучка, тем выше  $A_{yy}$ , однако наши эксклюзивные данные оказываются систематически выше ближайших по импульсу пучка инклюзивных (4.5 ГэВ/с).

В этой главе также описываются возможные способы феноменологического понимания наблюдаемых закономерностей. Делается сравнение угловых зависимостей анализирующих способностей  $dp \rightarrow dN\pi$  каналов реакции с упругим рассеянием пиона на дейтроне  $\pi^+d \rightarrow \pi^+d$ . При этом спин-зависимые наблюдаемые как функции угла вылета пиона вычисляются с помощью парциально-волновых амплитуд упругого  $\pi^+d$  рассеяния в кинематической области, совпадающей с областью доступной в этом эксперименте.

Наблюдаемая в эксперименте зависимость векторной анализирующей способности от угла вылета пиона может быть описана с помощью "наивной" модели, принимающей за основной подпроцесс упругое  $\pi^+d$  рассеяние виртуального пиона.

Однако, для тензорной анализирующей способности получаются значительные расхождения, связанные по-видимому с недостаточностью базы экспериментальных данных фазового анализа SAID [9] для этой поляризационной наблюдаемой в интересующей нас кинематической области.

**В Заключение** сформулированы основные физические и методические результаты диссертационной работы:

- Впервые в кинематически переопределенном эксперименте с регистрацией обоих рассеянных частиц измерена тензорная анализирующая способность  $A_{yy}$  реакции  $dp \rightarrow pd$  упругого рассеяния назад в с.ц.м. при кинетической энергии снаряда выше 1 ГэВ/нуклон. Результаты хорошо совпали с существующими данными полученными в экспериментах, с регистрацией только одной частицы в конечном состоянии.
- Впервые в эксперименте **эксклюзивного типа** измерены тензорная и векторная анализирующие способности неупругого  $dp$  рассеяния для каналов реакции с одним и двумя пионами в конечном состоянии.
- Сравнение тензорных анализирующих способностей  $dp \rightarrow dn\pi^+$  и  $dp \rightarrow dN\pi\pi$  показало отсутствие разницы между ними в пределах статистических ошибок эксперимента в области  $t \sim (-0.22; -0.08)$  (ГэВ/с)<sup>2</sup>, соответствующей области эффективных масс  $\sim (1.33; 1.48)$  ГэВ/с<sup>2</sup>.
- Наблюдено нарушение скейлинга по  $|t|$  для  $A_{yy}$ , обнаруженного в инклюзивных экспериментах: эксклюзивные данные оказываются систематически выше ближайших по импульсу пучка инклюзивных.
- Впервые в эксперименте **эксклюзивного типа** изучены зависимости тензорной и векторной анализирующих способностей  $A_{yy}$  и  $A_y$  реакций  $dp \rightarrow dN\pi$  от угла вылета пиона относительно направления импульса снаряда в плоскости реакции.
- Создано математическое обеспечение для обработки данных эксперимента E-278C, проведенного на ускорителе SATURNE-II. Разработанные процедуры и программы могут быть использованы (и уже используются) для обработки данных и планирования других экспериментов. Основные результаты диссертации представлены в 6 работах:

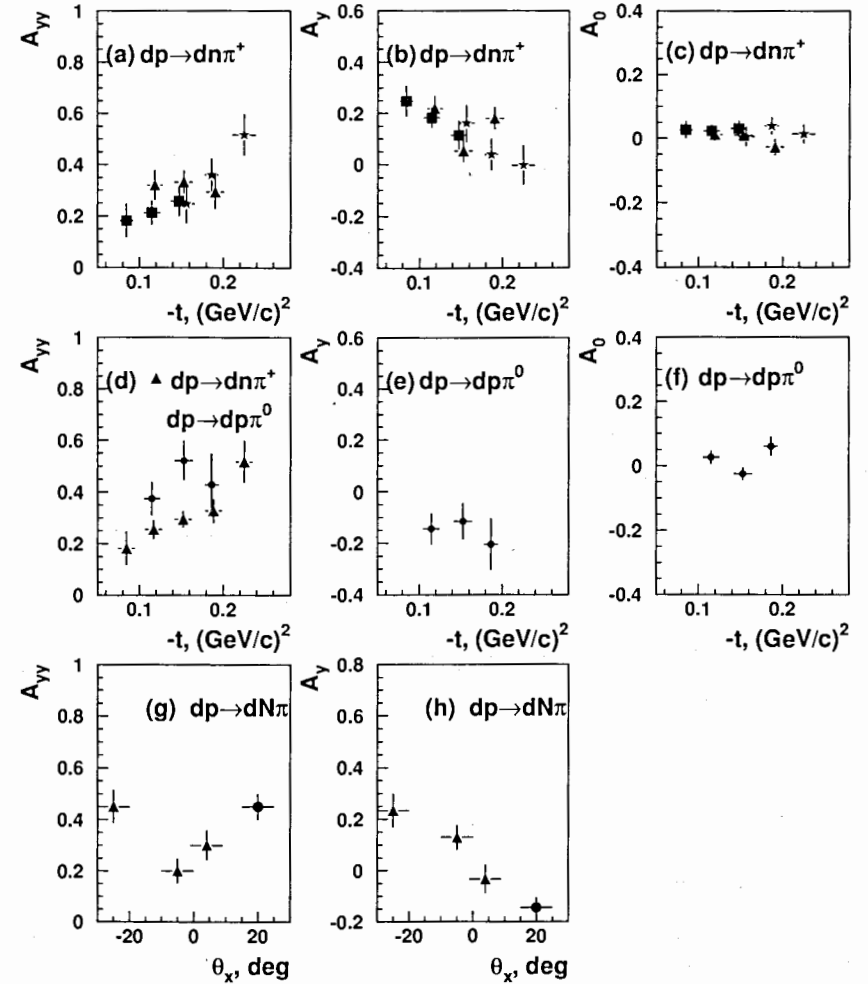


Рис. 8: Экспериментальные данные для спин-зависимых наблюдаемых  $A_{yy}$  и  $A_y$  в зависимости от  $t$  и  $\theta_\pi$  для однопионных каналов. На рис.(a,b,c) квадраты соответствуют настройке спектрометра на  $p_d=3.04$  ГэВ/с, треугольники - 2.94 ГэВ/с, звезды -  $p_d=2.85$  ГэВ/с; а) тензорная анализирующая способность  $A_{yy}$  в зависимости от  $|t|$ ; б) векторная анализирующая способность  $A_y$  в зависимости от  $|t|$ ; в) ложная асимметрия  $A_0$  в зависимости от  $|t|$ ; д)  $A_{yy}$  усредненная по всем настройкам для  $dn\pi^+$ ,  $\pi^+$  в FS (треугольники),  $A_{yy}$  для  $dp\pi^0$ ,  $p$  в FS (точки); е)  $A_y$  для  $dp\pi^0$ ; ф)  $A_0$  для  $dp\pi^0$ ; г)  $A_{yy}$  усредненная по всем настройкам для  $dn\pi^+$ ,  $\pi^+$  в FS (треугольники),  $A_{yy}$  для  $dp\pi^0$  (точки) от горизонтального угла вылета пиона  $\theta_x$ . h)  $A_y$  усредненная по всем настройкам для  $dn\pi^+$ ,  $\pi^+$  в FS (треугольники),  $A_y$  для  $dp\pi^0$  (точки) от горизонтального угла вылета пиона.

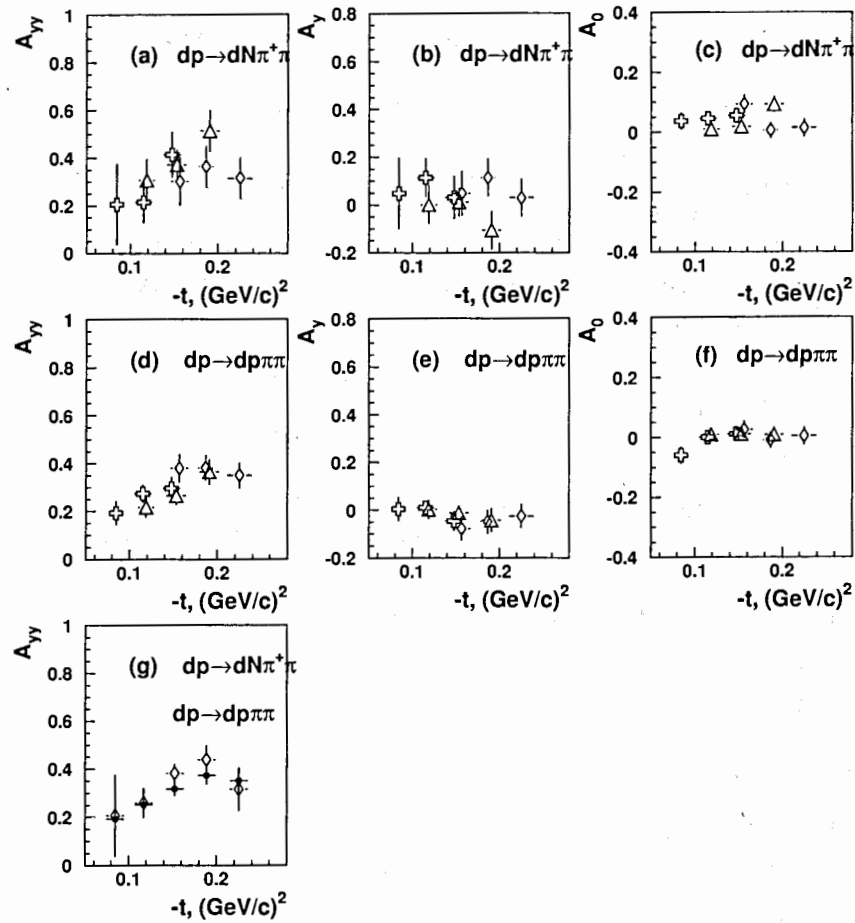


Рис. 9: Экспериментальные данные для спин-зависимых наблюдаемых  $A_{yy}$  и  $A_y$  в зависимости от  $t$  и  $\theta_\pi$  для двухпионных каналов. Квадраты соответствуют настройке спектрометра на  $p_d=3.04$  ГэВ/с, треугольники - 2.94 ГэВ/с, звезды -  $p_d=2.85$  ГэВ/с; а), б), с) для  $dN\pi^+\pi^-$ , когда  $\pi^+$  в FS. д), е), ф) для  $dp\pi^+\pi^-$ , когда  $p$  в FS. г) Сравнение усредненных по всем настройкам спектрометра  $A_{yy}$  для  $dN\pi^+\pi^-$  где  $\pi^+$  регистрируется в FS (пустые ромбы);  $A_{yy}$  для  $dp\pi^+\pi^-$  когда  $p$  регистрируется в FS (точки).

Table II. Спин-зависимые наблюдаемые  $A_{yy}$  and  $A_y$ .

$t$ (ГэВ/с) <sup>2</sup>	$\langle  t  \rangle$ (ГэВ/с) <sup>2</sup>	$\theta_\pi$ (градус)	$A_{yy}$	$A_y$
$dp \rightarrow dN\pi^+\pi^-, \pi^+$ регистрируется в FS				
		$-36^\circ \leq \theta_{\pi^+} \leq 6^\circ$	$0.22 \pm 0.02$	$-0.004 \pm 0.078$
		$-36^\circ \leq \theta_{\pi^+} \leq 6^\circ$	$0.19 \pm 0.01$	$0.107 \pm 0.044$
		$-36^\circ \leq \theta_{\pi^+} \leq 6^\circ$	$0.15 \pm 0.01$	$0.091 \pm 0.031$
		$-36^\circ \leq \theta_{\pi^+} \leq 6^\circ$	$0.12 \pm 0.01$	$0.196 \pm 0.036$
		$-36^\circ \leq \theta_{\pi^+} \leq 6^\circ$	$0.08 \pm 0.03$	$0.247 \pm 0.064$
$-0.28 \leq t \leq -0.14$	$0.19 \pm 0.05$	$0^\circ \leq \theta_{\pi^+} \leq 8^\circ$	$0.349 \pm 0.062$	$-0.011 \pm 0.06$
$-0.28 \leq t \leq -0.14$	$0.19 \pm 0.05$	$-10^\circ \leq \theta_{\pi^+} \leq 0^\circ$	$0.262 \pm 0.068$	$0.051 \pm 0.06$
$-0.28 \leq t \leq -0.14$	$0.19 \pm 0.05$	$-38^\circ \leq \theta_{\pi^+} \leq -18^\circ$	$0.525 \pm 0.083$	$0.161 \pm 0.08$
$-0.22 \leq t \leq -0.1$	$0.15 \pm 0.05$	$0^\circ \leq \theta_{\pi^+} \leq 8^\circ$	$0.307 \pm 0.056$	$-0.033 \pm 0.055$
$-0.22 \leq t \leq -0.1$	$0.15 \pm 0.05$	$-10^\circ \leq \theta_{\pi^+} \leq 0^\circ$	$0.259 \pm 0.048$	$0.130 \pm 0.045$
$-0.22 \leq t \leq -0.1$	$0.15 \pm 0.05$	$-38^\circ \leq \theta_{\pi^+} \leq -18^\circ$	$0.411 \pm 0.065$	$0.234 \pm 0.064$
$-0.17 \leq t \leq -0.07$	$0.12 \pm 0.05$	$0^\circ \leq \theta_{\pi^+} \leq 8^\circ$	$0.268 \pm 0.079$	$-0.041 \pm 0.072$
$-0.17 \leq t \leq -0.07$	$0.12 \pm 0.05$	$-10^\circ \leq \theta_{\pi^+} \leq 0^\circ$	$0.123 \pm 0.052$	$0.197 \pm 0.051$
$-0.17 \leq t \leq -0.07$	$0.12 \pm 0.05$	$-38^\circ \leq \theta_{\pi^+} \leq -18^\circ$	$0.425 \pm 0.098$	$0.298 \pm 0.091$
$dp \rightarrow dp\pi^0, p$ регистрируется в FS				
$-0.28 \leq t \leq -0.14$	$0.19 \pm 0.02$	$6^\circ \leq \theta_{\pi^0} \leq 36^\circ$	$0.428 \pm 0.120$	$-0.204 \pm 0.110$
$-0.22 \leq t \leq -0.1$	$0.15 \pm 0.02$	$6^\circ \leq \theta_{\pi^0} \leq 36^\circ$	$0.521 \pm 0.076$	$-0.115 \pm 0.071$
$-0.17 \leq t \leq -0.07$	$0.12 \pm 0.02$	$6^\circ \leq \theta_{\pi^0} \leq 36^\circ$	$0.374 \pm 0.065$	$-0.144 \pm 0.061$
$dp \rightarrow dN\pi^+\pi^-, \pi^+$ регистрируется в FS				
		$-56^\circ \leq \theta_{\pi^+} \leq 0^\circ$	$0.22 \pm 0.01$	$0.031 \pm 0.086$
		$-56^\circ \leq \theta_{\pi^+} \leq 0^\circ$	$0.19 \pm 0.01$	$0.005 \pm 0.060$
		$-56^\circ \leq \theta_{\pi^+} \leq 0^\circ$	$0.15 \pm 0.01$	$0.048 \pm 0.046$
		$-56^\circ \leq \theta_{\pi^+} \leq 0^\circ$	$0.12 \pm 0.01$	$0.053 \pm 0.060$
		$-56^\circ \leq \theta_{\pi^+} \leq 0^\circ$	$0.08 \pm 0.03$	$-0.10 \pm 0.16$
$dp \rightarrow dp\pi\pi, p$ регистрируется в FS				
		$-60^\circ \leq \theta_{\pi^{(-,+,\circ)}} \leq 60^\circ$	$0.22 \pm 0.01$	$0.026 \pm 0.048$
		$-60^\circ \leq \theta_{\pi^{(-,+,\circ)}} \leq 60^\circ$	$0.19 \pm 0.01$	$0.046 \pm 0.036$
		$-60^\circ \leq \theta_{\pi^{(-,+,\circ)}} \leq 60^\circ$	$0.15 \pm 0.01$	$0.036 \pm 0.026$
		$-60^\circ \leq \theta_{\pi^{(-,+,\circ)}} \leq 60^\circ$	$0.12 \pm 0.01$	$0.036 \pm 0.027$
		$-60^\circ \leq \theta_{\pi^{(-,+,\circ)}} \leq 60^\circ$	$0.08 \pm 0.03$	$0.005 \pm 0.048$

[1] Momentum reconstruction procedure for nonfocusing spectrometer with wide-aperture analyzing magnet and nonuniform field.

L. S. Azhgirey *et al.* JINR Rapid Comm., 2[94]-99, 5 (1999)

[2] Calibration of SPES4- $\pi$  set-up in experiments on SATURNE-II.

L.V Malinina and E.A. Strokovsky, Particles and Nuclei Lett., 3[100], 86 (2000).

[3] Analyzing powers of inelastic dp scattering in the energy region of Delta and Roper resonances excitation.

L.V. Malinina *et al.*, preprint JINR, E1-2001-36, Dubna, 2001; submitted at Ph.Rev.C.

[4] Measurement of the tensor analyzing power  $A_{yy}$  of inelastic  $p(dd')$  scattering in the energy region of Delta and Roper resonances excitation with SPES4- $\pi$  at SATURNE-II.

L.V. Malinina *et al.*, preprint JINR, E1-2001-12, in Proc. of the XV International Seminar on High Energy Physics Problems (ISHEPP XV), Dubna, 2000.

[5] Study of Delta and Roper resonances excitation in light nuclei induced reaction.

E.A. Strokovsky *et al.*, Few Body Systems, Suppl. 10, 495 (1999)

[6] Study of inelastic  $(dd')$  scattering in exclusive experiment at SPES4- $\pi$  at SATURNE-II.

G.D. Alkhazov *et al.*, in Proc. of the XIV International Seminar on High Energy Physics Problems (ISHEPP XIV), ed. A.M. Baldin, V.V. Burov, v.II, p.136, Dubna, 2000.

## Список литературы

- [1] N. Isgur and G. Karl, Phys. Rev. D **18**, 4187, (1978); S. Capstick and N. Isgur, Phys. Rev. D **34**, 2809, (1986).
- [2] А.П. Балдина и др., Релятивистская ядерная физика—от сотен МэВ до ТэВ, Труды Международного Совещания, Болгария, Варна, стр 349.(1998)
- [3] E. Oset, E. Shiino, H. Toki, Phys. Lett., B**224**, 249 (1989); P. Fernandez de Cordoba, E. Oset, Nucl. Phys. A**544**, 793 (1992); P. Fernandez de Cordoba *et al.*, Nucl. Phys. A **586**, 586 (1995).
- [4] L.S. Azhgirey *et al.*, Phys. Lett. B**391**, 22, (1997); YaF 61, 494, (1998).
- [5] V. Punjabi *et al.*, Phys. Lett. B**350**, 178, (1995).
- [6] L.S. Azhgirey *et al.*, Phys. Lett. B**387**, 37, (1996)
- [7] L. S. Azhgirey *et al.*, Phys. Lett. B **361**, 21 (1995); L. S. Azhgirey *et al.* JINR Rapid Comm., 2[88]-98, 17 (1998).
- [8] M. P. Rekaló and E. Tomasi-Gustafsson, Phys. Rev. C. **54**, 3125 (1996). ; M. P. Rekaló, E. Tomasi-Gustafsson *et al.*, Phys. Rev. C. **59**, 1526 (1999).
- [9] R.A.Arndt, I.I.Strakovsky and R.L.Workman, Phys. Rev. C. **50**, 1796 (1994).

Рукопись поступила в издательский отдел  
30 мая 2001 года.